

## 가우스 잡음 하에서 계환로를 이용한 윤곽선 검출 알고리즘

○ 이 수 원 \*

\*\* 권 병 현

\*\*\* 흥 병 원

\* 한국항공대학 통신정보공학과

\*\* 한국항공대학 전자공학과

\*\*\* 한국항공대학 전자계산학과

## A Contour Extraction Algorithm Using Feedback Path in Gaussian Noisy Image

○ \* Soo Won LEE

\*\* Byong Hun KWON

\*\*\* Byong Won HWANG

\* Dept. of Telecomm. and Information Eng., Hankuk Aviation College

\*\* Dept. of Avionics Eng., Hankuk Aviation College

\*\*\* Dept. of Computer Science, Hankuk Aviation College

**ABSTRACT:** It is proposed a contour extraction algorithm which can gradually improve its result until the extracted contours are complete. The feedback path is used only when contours obtained are not closed or ambiguous in order to improve local noisy image. The proposed algorithm is suitable for those applications that demand closed contours, such as character recognition and blob detection.

## 1. 서 론

영상 처리에서 윤곽선 (contour) 은 물체 인식이나 영상 분할 등에서 매우 중요한 정보로 사용된다[1]. 종래의 윤곽선 검출 알고리즘은 그림 1.과 같이 두 단계로 구성 된다. 선명한 영상에 대해서는 종래의 알고리즘으로도 좋은 결과를 얻을 수 있지만, 영상에 잡음이 섞인 경우 특히, 국부 잡음에 대해서는 종래의 알고리즘으로는 좋은 결과를 기대 할 수 없다. 이러한 경우, 시스템이 인식이나 해석을 하기 위해서는 불완전한 윤곽선에서는 믿을 만한 특징을 검출하기가 어렵게 된다[2].

일반적으로, 윤곽선 검출을 저하시키는 요소는 다음과의 경우이다[3][4].

1) 가우스성 잡음, 임펄스성 잡음

## 2) 디포커싱에 의한 경우

## 3) 물체의 크기가 아주 작은 경우

## 4) 물체의 표면구조의 불균일성에 의한 경우

## 5) A/D 변환기의 비 선형성에 기인하는 인공잡음

경계 시스템에 의해 표현되는 Liu 의 알고리즘 [5]은 아주 정교한 장점을 가지고 있지만, 소린 계산 시간을 요구한다 [2].

Chen 의 알고리즘 [2]은 우수한 성능을 가지지만 계환로에서 오랜 처리 시간이 요구된다.

일반적으로 전처리의 알고리즘은 무엇보다 처리시간의 단축을 요하므로, 본 알고리즘에서는 종래의 윤곽선 검출 알고리즘을 수행시킨 후, 추출한 윤곽선이 끝 완전하다고 판정되면 프로그램에 의해 잡음영역 (물체영역)을 검출하여 계환로를 거치면서 국부 영역을

개선식한 다음, 이 국부영역을 중대의 알고리즘의 새로운 입력으로 사용하여 처리하고, 앞서 처리된 내식도를 저장시켰다가 합성하여 완성하며 설정한 시스템 조건에 만족될 때 까지 처리를 반복한다. 따라서 본 알고리즘은 국부 평준화 개념을 도입하여 짐을 위한 윤곽선 부분의 유타 혹은 윤곽선의 모조성을 개선하여 일관한 윤곽선을 얻는다. 그림 1.2 부록이 있다.

그림 2.1은 제안한 알고리즘에 대한 블록 디아그램을 나타냈다.



그림 1. 중대의 알고리즘  
Conventional Algorithm.

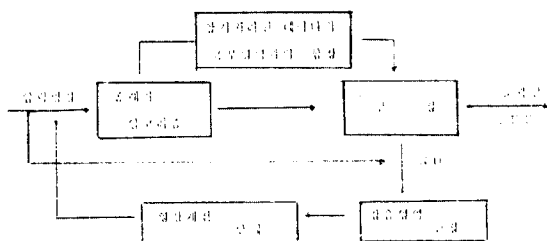


그림 2. 제안한 알고리즘  
Proposed Algorithm.

## 2. 제안한 알고리즘

제안한 알고리즘에서는 중대의 알고리즘을 사용하고 있으나 경계 검출자로서는 Sobel Operator, 풀 사용하였으며 세밀화 알고리즘은 차리속도에 주연검출기와 Wang [6]의 알고리즘을 사용하였다.

### 2.1. 제한도의 동작 결정

윤곽선 추적 알고리즘에 의해 시작점에서 시작 방향으로 8 방향 탐색기에 의해 주변 여덟 이웃 점과의 노드를 조사하여 조건에 만족하면 체인으로 연결하고, 조건에 만족하지 않으면 원도우를  $5 \times 5$ ,  $7 \times 7$  까지 확대하여 노드를 조사한다.  $7 \times 7$  원도우에서 도 판정 기준에 벗어나면 이를 정지점 (stop point)

이라고 칭하고 새로운 레이블을 붙이며 다시 시작점에서 반시계 방향으로 위와 같은 방법으로 탐색을 행하며 역시 조건에 만족하면 체인으로 연결한다.

만약, 위에서 언급한 문제점을 찾지 못하면 이는 완전한 윤곽선으로 인정한다. 각 정지점 (stop point) 사이의 거리가 5 Pixel 이하 이면 선형 균사화에 의해 출력하고, 그 이상이면 제한도를 동작시킨다. 일단, 제한도가 동작하게 되면, 정지점들의 위치는 알 수 있게 된다. 각 정지점의 직선거리 N과 점 간의 중앙점을 구한 다음, 중앙점을 중심으로  $N \times N$  영역을 설정하여 영상개선 단계의 입력으로 이용한다.

#### (1) 각 점의 직선거리 (N)

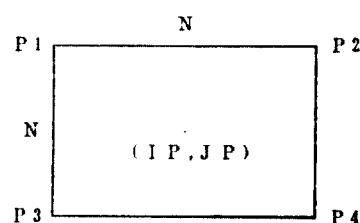
각 정지점에서 최상단과 최하단의 위치를 각각  $(i^+, j^+)$ ,  $(i^-, j^-)$  이라하면

$N = \sqrt{(i^+ - i^-)^2 + (j^+ - j^-)^2}$  을 구한 다음 N을 정수화 시킨다.

#### (2) 잡음 영역 결정

두 점 사이의 중간점  $((i^+ + i^-)/2, (j^+ + j^-)/2)$ 을  $(I_P, J_P)$  라고 하면,

아래 그림에서 P1, P2, P3, P4 의 위치는 다음과 같다.



P1의 좌표  $((I_P - N)/2 + 1, (J_P - N)/2 + 1)$

P2의 좌표  $((I_P - N)/2 - 1, (J_P + N)/2 + 1)$

P3의 좌표  $((I_P + N)/2 + 1, (J_P - N)/2 - 1)$

P4의 좌표  $((I_P + N)/2 + 1, (J_P + N)/2 + 1)$

잡음 영역은 4개의 점의 위치정보를 근거로하여 입력 영상에서 잡음 영역을 설정하여 영상개선 단계의 입력으로 이용한다.

## 2.2 영상 개선 단계

영상개선 방법은 크게 주파수영역에서의 처리와 공간영역에서의 처리로 나누어 진다[7].

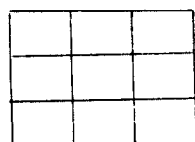
주파수 영역 처리 방법은 영상의 푸리에 변환을 이용하는 방법이며, 공간영역의 처리 방법은 영상평면 그 자체에 대해 영상의 화소에 직접 처리한다. 본 연구에서는 공간영역의 처리 방법을 사용하여 잡음 제거 및 영상의 보존 효과가 우수한 메디안 필터(Median filter)를 사용하였다.

### 1) 메디안 필터

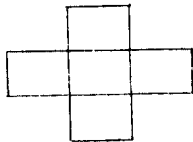
메디안 필터는 원도우 함수가 각 점의 신호를 통과함으로써 쉽게 개선되는 연산자이며 필터의 출력은 원도우 내부의 메디안값, 즉 중간값을 취한다.

2차원 메디안 필터는 필터원도우의 크기와 기하학적 모양에 따라 여러가지 모양으로 정의될 수 있다. 일반적으로 대부분의 기하학적 모양은 SQUARE, CROSS, X SHAPED 의 원도우를 사용한다[7].

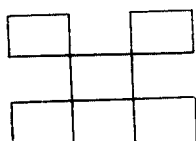
그림3. 은 2차원 메디안 필터의 기하학적 모양을 나타냈다.



(a) SQUARE



(b) CROSS SHAPED



(c) X SHAPED

그림3. 이차원 일반 메디안 필터의 기하학적 모양  
Common two-dimensional median filter geometries.

## 3. 실험

그림4.에 전체 시스템의 블럭 다이그램을 보았다.  
256의 계조도를 갖는 디지털 화상을 입력으로 하여

Intel80286 CPU를 갖는 Televideo-AT 컴퓨터에서 본 알고리즘을 수행하였다.

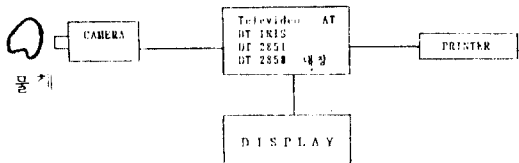


그림4. 시스템 블록 다이아그램  
The System Block Diagram

Televideo-AT에서는 입력화상을 처리할 수 있는 고해상도 프레임 그레이브(High Resolution Frame Grabber; DT2851)와 보조 프레임 프로세서(Auxiliary Frame Processor; DT2850) 그리고 software package BTIRIS를 이용하여 영상데이터를 처리하였다.

본 연구에서는  $128 \times 128 \times 256$  의 2차원 영상을 대상으로 하였으며, 영상에서의 잡음을 메디언으로 가우스 잡음(Additive Gaussian Noise)으로 모도그램에 의해 생성하였다. 따라서 잡음은 각 화소에 대해 상관관계가 없으며, 잡음영역 설정시, 물체 형태에 대한 정보가 없으므로 레이블된 점간의 거리(N)에 근거하여 잡음영역의 크기를  $N \times N$  으로 정했다.

그림5.에 제안된 알고리즘의 처리단계를 나타내었다.  
제안한 알고리즘을 영상처리 시스템을 이용하여 디스플레이시킨 결과를 그림6.에서 그림9.에 나타내었다.

그림6.은 잡음이 없는 상태에서 nipper를 처리한 결과이다.

그림7에서 그림9.는 가우스 잡음 하에서 알고리즘을 수행한 결과이며, 그림9.에서는 종래의 알고리즘과 제안한 알고리즘을 비교하였다.

## 4. 결 론

에디티브 가우스성 잡음 하에서 종래의 알고리즘은 잡음의 표준편차에 민감한 반응을 보였으며, 제안한 알고리즘에 의해 문제가 된 국부 영역만을 검출하여

제한로를 이용한 결과, 윤곽선의 모호성을 개선할 수 있었다. 하지만, 제한로를 이용할 때 종래의 알고리즘 보다 약 1.7 배 처리시간이 길어지는 단점을 가지고 있다.

본 논문에 있어서 고려하지 못한 사항들은 다음과 같다.

1. 알고리즘 처리 단계 중 판정단계에서는 단일 융체만 검출하며 여러개의 물체가 있는 경우에는 알고리즘이 결정하기 필요하다.
2. 단일 물체에서 윤곽선이 끊어지거나, 겹친 부분이 두 부분 이상일 때에는 이들의 대중자리가 문제가 된다.
3. 제한로 상에서 메디안 필터를 이용할 때, 융과와 형태와의 트레이드오프 (trade off) 관계 때문에 형태를 안전히 계산하지 못했다.

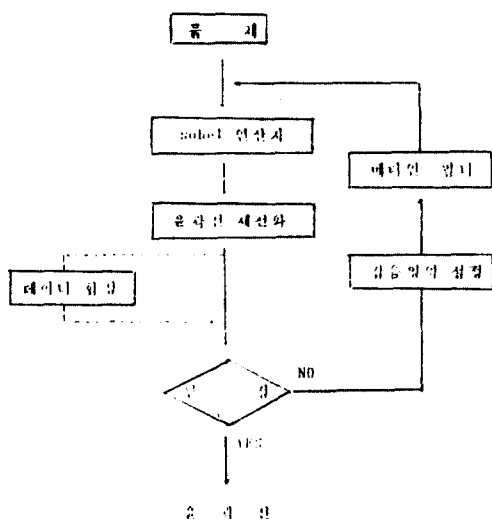


그림5. 제언된 알고리즘의 처리 단계  
Processing Steps in Proposed Algorithm

tracing with feedback," IEEE Trans. on Pattern Analysis and Machine Intelligence, vol. PAMI-9, no.3, pp.438-446, May 1987.

- [3] L. S. Davis, "A Survey of Edge Detection Technique," CCIP 4, pp. 248-270, 1975.
- [4] A. C. Bovik, T. S. Huang and D. C. Munson, "The Effect of Median Filtering on Edge Estimation and Detection," IEEE Trans. on Pattern Analysis and Machine Intelligence, vol. PAMI 9, no.2, pp.181-194 Mar. 1987.
- [5] H.K.Liu, "Two-and three Dimensional boundary Detection," Comput. Graphics Image Processing, vol.6, pp. 123-134, 1977.
- [6] H.E.Lu and P.S.P. Wang, "An Improved Fast Thinning Algorithm For Digital Patterns," IEEE Computer Society Conference on Computer Vision and Pattern Recognition, San Francisco, California, pp.364-367 June 19-23, 1985.
- [7] 최 강석, 윤 동한, "데이터 영상의 경계검출," 한국통신학회 논문집, 제12권 4호, pp.405-413, 1987.

#### APP. 실험 결과

#### 참고 문헌

- [1] 황 명원, "컴퓨터에 의한 영상처리 기술," 월간 전자 과학, 1985, 1월 6월.
- [2] B. D. Chen, P. Siy, "Forward/backward contour

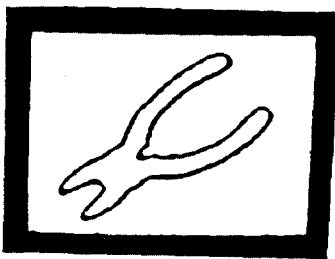


그림6. 잡음이 없는 영상을 처리한 결과 (nipper)  
The Results Processed with Noise Free Image

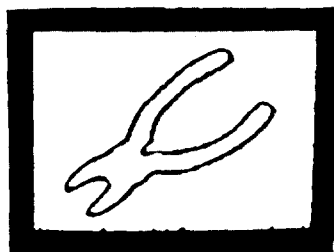
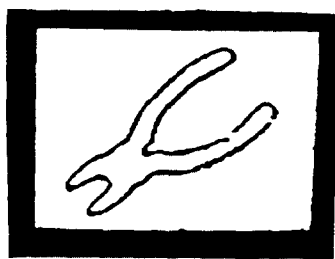
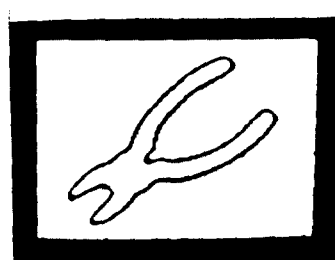


그림7. 에디티브 가우스 잡음에서 알고리즘을  
수행한 결과 (AV 0, SD 0.4)  
The Result of Processing Additive Gaussian Noisy Image. (Additive Gaussian Noise: AV 0, SD 0.4)

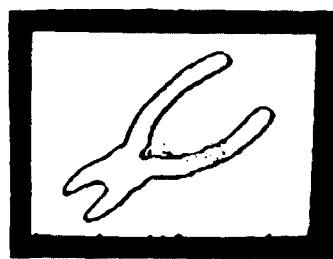


(a) 종래의 알고리즘에 의한 처리 결과  
The Result of Processing by Conventional Algorithm

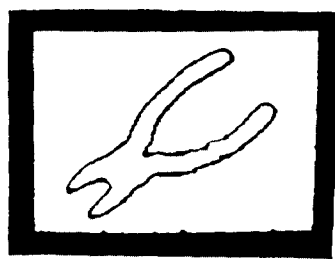


(b) 제안한 알고리즘에 의한 처리 결과  
(재활용 1번 이용)  
The Result of Processing by Proposed Algorithm

그림8. 에디티브 가우스 잡음에서 알고리즘을  
수행한 결과 (AV=0,SD=0.6)  
The Result of Processing Additive Gaussian Noisy Image. (Additive Gaussian Noise: AV 0,SD 0.6)



(a) 종래의 알고리즘에 의한 처리 결과  
The Result of Processing by Conventional Algorithm



(b) 제안한 알고리즘에 의한 처리 결과  
(재활용 1번 이용)  
The Result of Processing by Proposed Algorithm

그림9. 에디티브 가우스 잡음에서 알고리즘을  
수행한 결과 (AV=0,SD=0.9)  
The Result of Processing Additive Gaussian Noisy Image. (Additive Gaussian Noise: AV=0,SD=0.9)